

Общероссийский математический портал

И. Я. Арефьева, С. Ю. Вернов, А. С. Кошелев, Точное решение в струнной космологической модели, $TM\Phi$, 2006, том 148, номер 1, 23–41

Использование Общероссийского математического портала Math-Net.Ru подразумевает, что вы прочитали и согласны с пользовательским соглашением http://www.mathnet.ru/rus/agreement

Параметры загрузки:

IP: 91.229.59.100

28 октября 2014 г., 00:19:48



ТЕОРЕТИЧЕСКАЯ И МАТЕМАТИЧЕСКАЯ ФИЗИКА Том 148, № 1 июль, 2006

© 2006 г. И.Я. Арефьева*, С.Ю. Вернов[†], А.С. Кошелев* ТОЧНОЕ РЕШЕНИЕ В СТРУННОЙ КОСМОЛОГИЧЕСКОЙ МОДЕЛИ

Построено точное решение уравнений Фридмана с фантомным скалярным полем материи, происходящим из полевой теории струн, и явно показано отсутствие сингулярности типа "большой разрыв". Особенностями рассматриваемой модели являются духовый знак кинетического члена и специальная полиномиальная форма эффективного тахионного потенциала. Предложенное решение устойчиво относительно малых изменений начальных условий и специальных изменений формы потенциала.

Ключевые слова: струны, полевая теория струн, космология, браны, тахион, фантом, темная энергия, большой разрыв.

1. ВВЕДЕНИЕ

Комбинированный анализ данных, полученных при изучении суперновых типа Ia, галактических кластеров, а также данных эксперимента WMAP (Wilkinson Microwave Anisotropy Probe), убедительно показывает ускоренное расширение Вселенной [1]–[3]. Космологическое ускорение указывает на то, что в настоящее время во Вселенной доминирует равномерно распределенная медленно изменяющаяся космическая жидкость с отрицательным давлением, называемая темной энергией [4], [5] (об альтернативных подходах см., например, [6]).

Для спецификации различных типов космической жидкости обычно используется феноменологическое соотношение $p=w\varrho$ между плотностями давления p и энергии ϱ каждой из компонент жидкости, где w — параметр уравнения состояния, или, для краткости, параметр состояния. Компонента с отрицательным w соответствует темной энергии. Современные эксперименты, в том числе WMAP, свидетельствуют о том, что в настоящее время параметр состояния темной энергии близок к -1 (см. работы [3], [7], [8]). В частности, из существующих оценок [2], полученных по

^{*}Математический институт им. В. А. Стеклова РАН, Москва, Россия. E-mail: arefeva@mi.ras.ru, koshelev@mi.ras.ru

[†]Научно-исследовательский институт ядерной физики им. Д. В. Скобельцына, Московский государственный университет, Москва, Россия. E-mail: svernov@theory.sinp.msu.ru

результатам наблюдений, вытекает, что с вероятностью 0.95 значение w лежит в интервале

$$-1.46 < w < -0.78$$
.

С теоретической точки зрения указанная выше область w охватывает три существенно различных случая: w > -1, w = -1 и w < -1.

- Случай w > -1 реализуется в моделях квинтэссенции [9]–[11], которые являются космологическими моделями со скалярным полем. Такие типы моделей вполне приемлемы, однако возникает вопрос о происхождении этого скалярного поля. Для согласия с астрономическими экспериментальными данными скалярное поле должно быть очень легким и, следовательно, не принадлежащим к набору полей Стандартной Модели [12].
- Случай w=-1 описывается с помощью космологической константы. Этот сценарий допустим с общей точки зрения, однако существует проблема, связанная с порядком величины космологической константы, которая оказывается в 10^{120} раз меньше естественного теоретического предсказания [5].
- Случай w < -1 называется фантомным [13] и может быть реализован с помощью скалярного поля с духовым (фантомным) кинетическим членом. В этом случае все энергетические условия нарушаются, и возникают проблемы нестабильности на классическом и квантовом уровнях [13]–[20]. Поскольку нет экспериментального подтверждения того, что случай w < -1 невозможен, и, более того, предложена прямая стратегия экспериментальной проверки неравенства w < -1 [21], интересно найти непротиворечивую модель, в которой условие w < -1 выполняется w < -1 выполняется.

Отметим, что в моделях κ -эссенции [10] можно встретить как значения w<-1, так и значения $w\geqslant -1$. При этом динамический переход из области $w\geqslant -1$ в область w<-1 и обратно запрещен при достаточно общих предположениях [23] и возможен только при специальных условиях [24].

Напомним, что в моделях с постоянным значением w<-1 и пространственно плоской метрикой Фридмана происходит обращение в бесконечность масштабного множителя и, следовательно, гибель Вселенной в конечный момент времени. Эта проблема известна как проблема "большого разрыва" [15], см. также [16]. Наиболее простой путь обхода этой проблемы в моделях с w<-1 – это введение скалярного поля ϕ с отрицательной временной компонентой кинетического члена [8], [17]. Появление таких слагаемых возможно за счет квантовых эффектов [18], [25]. Однако во всех предлагаемых моделях возникает проблема нестабильности.

Возможный способ избежать проблемы нестабильности в моделях с w<-1 состоит в рассмотрении фантомной модели как эффективной модели, возникающей из более фундаментальной теории, которая не имеет отрицательного кинетического члена. В частности, если рассмотреть модель с высшими производными типа $\phi e^{-\Box} \phi$, то в простейшем приближении $\phi e^{-\Box} \phi \simeq \phi^2 - \phi \Box \phi$ такая модель приводит к кинетическому слагаемому с неправильным (духовым) знаком. Оказывается, что именно возможность такого типа и реализуется в полевой теории струн [20]. При

 $^{^{1)}}$ Отметим модель, приведенную в работе [22], в которой значение w<-1 является результатом введения аксиона.

этом все вопросы, связанные с нестабильностью теории с высшими производными, снимаются, поскольку рассматриваемая модель является приближением к теории струн.

Целью настоящей статьи является построение точного решения в полиномиальной модели, которая в некотором приближении близка к модели, возникающей в теории струн, а именно, в теории фермионной NSR-струны с учетом (GSO—)-сектора. В качестве скалярного поля ϕ выступает тахион открытой струны, описывающий согласно гипотезе А. Сена [11] распад браны, при котором происходит медленный переход в стабильный вакуум, соответствующий состояниям замкнутой струны. Другие модели темной энергии, рассматривающие Вселенную как брану, представлены в работах [26].

Особенностями предлагаемой модели являются духовый знак кинетического члена и специальная форма потенциала:

$$V(\phi) = \frac{1}{2}(1 - \phi^2)^2 + \frac{1}{12m_p^2}\phi^2(3 - \phi^2)^2.$$
 (1)

В первом приближении из полевой теории открытых струн в плоской метрике (что соответствует $m_{\rm p}=\infty$) может быть получено лишь первое слагаемое в правой части (1) [27]. Второе слагаемое позволяет сохранить вид интерполирующего решения, полученного в плоской метрике, в случае Вселенной Фридмана, то есть при произвольном $m_{\rm p}$. Отметим, что появление высших степеней ϕ возможно, если мы будем учитывать более тяжелые струнные возбуждения [28], однако нет основания ожидать, что из теории струн получатся точные значения коэффициентов потенциала (1). Анализ стабильности решения, проводимый в этой статье, указывает на то, что построенное решение является притягивающим, и не происходит существенного изменения в поведении решений при некотором изменении параметров потенциала. Это дает основания предполагать, что качественное поведение физических параметров H, w, q в модели с потенциалом (1) при определенных условиях окажется близким к поведению соответствующих величин в модели с потенциалом, взятым из теории струн.

Построенное решение не имеет сингулярностей и на больших временах становится де-ситтеровским. Это не противоречит общим теоремам теории относительности, поскольку в рассматриваемой модели нарушены энергетические условия (обсуждение этого вопроса см. в работе [29]).

Статья организована следующим образом. В разделе 2 мы описываем космологическую модель, являющуюся приближением для модели, возникающей в полевой теории струн, и строим решения уравнений Фридмана для специального полиномиального потенциала. В разделе 3 мы в деталях рассматриваем динамику фантома и устанавливаем, что наше решение описывает ускоряющуюся Вселенную. В разделе 4 мы изучаем стабильность решения относительно изменений начальных условий и специальных изменений формы потенциала. В разделе 5 мы суммируем результаты и отмечаем пути обобщения предложенной модели.

2. ГРАВИТАЦИОННАЯ МОДЕЛЬ

2.1. Уравнения движения. Рассмотрим гравитационную модель с фантомным скалярным полем и пространственно плоской метрикой Фридмана. Так как происхождение фантомного поля, рассматриваемого в этой работе, связано с теорией струн, в действие следует включить характерную массу струны $M_{\rm s}$ и безразмерную константу взаимодействия открытых струн $g_{\rm o}$. Действие имеет вид

$$S = \int d^4x \sqrt{-g} \left(\frac{M_{\rm p}^2}{2M_{\rm s}^2} R + \frac{1}{g_{\rm o}^2} \left(+ \frac{1}{2} g^{\mu\nu} \partial_\mu \phi \partial_\nu \phi - V(\phi) \right) \right), \tag{2}$$

где $M_{\rm p}$ – масса Планка, а $g_{\mu\nu}$ – пространственно плоская метрика Фридмана,

$$ds^{2} = -dt^{2} + a^{2}(t)(dx_{1}^{2} + dx_{2}^{2} + dx_{3}^{2}),$$

a(t) есть масштабный фактор. Координаты (t,x_i) и поле ϕ являются безразмерными. Введем безразмерный параметр $m_{\rm p}^2=g_{\rm o}^2M_{\rm p}^2/M_{\rm s}^2$.

Независимые уравнения движения имеют вид

$$3H^2 = \frac{1}{m_p^2} \varrho, \qquad 3H^2 + 2\dot{H} = -\frac{1}{m_p^2} p.$$
 (3)

Здесь H — параметр Хаббла, $H \equiv \dot{a}(t)/a(t)$, а точка обозначает производную по времени. Пусть скалярное поле зависит только от времени, т.е. $\phi = \phi(t)$, тогда

$$\varrho = -\frac{1}{2}\dot{\phi}^2 + V(\phi), \qquad p = -\frac{1}{2}\dot{\phi}^2 - V(\phi).$$
(4)

Перепишем систему (3) в следующем виде:

$$\dot{H} = \frac{1}{2m_{\rm p}^2}\dot{\phi}^2, \qquad 3H^2 = \frac{1}{m_{\rm p}^2}\left(V(\phi) - \frac{1}{2}\dot{\phi}^2\right).$$
 (5)

Помимо уравнений (5) из действия (2) получается уравнение движения для поля ϕ :

$$\ddot{\phi} + 3H\dot{\phi} - V_{\phi}' = 0, \qquad V_{\phi}' \equiv \frac{dV}{d\phi}.$$
 (6)

Данное уравнение фактически является следствием системы (3). Выразив H через ϕ и $\dot{\phi}$, получаем

$$\ddot{\phi} + \text{sign}(H) \frac{\sqrt{3}}{m_{\text{p}}} \dot{\phi} \sqrt{-\frac{1}{2} \dot{\phi}^2 + V(\phi)} - V_{\phi}' = 0.$$
 (7)

Множитель $\mathrm{sign}(H)$ определяет надлежащую ветвь функции квадратного корня. Расширению Вселенной соответствует H>0.

2.2. Связь с теорией струн. В настоящее время один из возможных сценариев развития Вселенной связан с представлением ее как D3-браны (три пространственных и одна временная переменная), вложенной в многомерное пространство-время. D-браны естественным образом возникают в теории открытых струн. Мы будем рассматривать неэкстремальную брану. Эта D-брана нестабильна и эволюционирует в

стабильное состояние. Этот процесс описывается динамикой открытой фермионной струны, концы которой закреплены на бране, и которая содержит как (GSO+)-, так и (GSO-)-секторы (см. работы [28] и приведенные в этих обзорах соответствующие ссылки). Если ограничиться только низшим возбуждением (тахионом), то динамика D-браны будет описываться действием тахиона открытой струны. Имеется два общепринятых способа описания поведения тахиона: в рамках приближения Дирака-Борна-Инфельда или на основании ковариантной полевой теории струн с использованием метода обрезания по уровням [30]. Метод обрезания по уровням оправдал себя при проверке гипотезы Сена, поэтому его естественно использовать для анализа динамики D-бран, см. [31]-[33]. Действие тахиона, получающееся из полевой теории фермионной струны в приближении медленно изменяющегося вспомогательного поля [32], имеет вид

$$S_{\text{flat}} = \frac{1}{g_0^2} \int dx \left(-\frac{1}{2} \partial_\mu \varphi \partial^\mu \varphi + \frac{1}{4} \varphi^2 - \frac{81}{256} \tilde{\varphi}^4 \right),$$

где φ есть безразмерное поле тахиона, координаты и константа g_0 также безразмерны. Тильда означает действие нелокального оператора $\exp\left(-\ln\left(\frac{4}{3\sqrt{3}}\right)\partial_\mu\partial^\mu\right)$ на поле φ , а индекс flat здесь и далее указывает на то, что мы имеем дело с плоской фоновой метрикой. Отметим, что в случае бозонной струны будет иметь место кубическое взаимодействие. В случае пространственно однородных конфигураций остается только зависимость от времени τ , и действие принимает вид

$$S_{\text{flat}}^{(\tau)} = \frac{1}{g_0^2} \int d\tau \left(+\frac{1}{2} \left(\frac{d\varphi}{d\tau} \right)^2 + \frac{1}{4} \varphi^2 - \frac{81}{256} \left(e^{\ln(\frac{4}{3\sqrt{3}})\frac{d^2}{d\tau^2}} \varphi \right)^4 \right).$$

Вводя обозначение $\phi = \frac{9}{4\sqrt{2}} \exp \left(\ln\left(\frac{4}{3\sqrt{3}}\right) \frac{d^2}{d\tau^2}\right) \varphi$ и переходя к переменной $t = \tau/2$, запишем уравнение движения, вытекающие из последнего выражения для действия, в виде

$$\left(-\frac{d^2}{dt^2} + 2\right)e^{\tilde{a}\frac{d^2}{dt^2}}\phi = 2\phi^3,$$

где $\tilde{a} = -\ln\left(\frac{4}{3\sqrt{3}}\right)/4 > 0$. По существу это уравнение является интегральным, поскольку для полей определенного класса экспонента, содержащая бесконечное число производных, может быть заменена интегральным оператором [31], что приводит нас к уравнению

$$\left(-\frac{d^2}{dt^2} + 2\right) \frac{1}{\sqrt{4\pi\tilde{a}}} \int e^{\frac{(t-t')^2}{4\tilde{a}}} \phi(t') dt' = 2\phi^3(t).$$
 (8)

Отметим, что если в уравнении (8) пренебречь первым слагаемым, то получится уравнение для p-адической струны (в нашем случае p=3) [34]. В этом случае доказано существование решения, интерполирующего между двумя вакуумами [35]. Численно это решение было ранее построено в [36].

Уравнение (8) исследовалось в работах [32], [33] и было численно показано существование роллингового решения, т.е. решения, интерполирующего между двумя вакуумами потенциала

$$V_{\text{flat}}(\phi) = \frac{1}{2}(1 - \phi^2)^2. \tag{9}$$

Интересно, что поведение роллингового решения при больших временах может быть эффективно описано лагранжианом с духовым знаком кинетического члена и таким же, как и раньше, потенциалом. Соответствующее действие имеет вид

$$S_{\text{eff,flat}}^{(t)} = \int dt \left(-\frac{1}{2}\dot{\phi}^2 - \frac{1}{2}(1-\phi^2)^2 \right).$$
 (10)

Как известно, уравнение движения, вытекающее из действия (10),

$$\ddot{\phi} + 2\phi(1 - \phi^2) = 0,\tag{11}$$

имеет интерполирующее решение - кинк

$$\phi(t) = \text{th}(t). \tag{12}$$

2.3. Построение решения. Система уравнений (5) с произвольным полиномиальным потенциалом $V(\phi)$ неинтегрируема. Численный анализ уравнений Фридмана для потенциала (9) был проведен в статье [20]. Известно, см., например [19], [37], что всегда можно найти потенциал $V(\phi)$, если $\phi(t)$ или H(t) заданы явно. Это легко сделать, предположив, что H(t) является функцией от $\phi(t)$, называемой суперпотенциалом, т.е. $H(t) = W(\phi(t))$. Используя равенство $\dot{H} = W_{\phi}'\dot{\phi}$, из системы (5) получаем

$$\dot{\phi} = 2m_{\rm p}^2 W_{\phi}',\tag{13}$$

$$V = 2m_{\rm p}^4 W_{\phi}^{\prime 2} + 3m_{\rm p}^2 W^2. \tag{14}$$

Найдем потенциал, который соответствует полю ϕ вида (12). Функция ϕ удовлетворяет условию

$$\dot{\phi} = 1 - \phi^2,\tag{15}$$

следовательно, из (13) вытекает, что

$$W = \frac{1}{2m_{\rm p}^2} \left(\phi - \frac{1}{3} \phi^3 \right) + C,$$

где C — константа интегрирования. Зная $W(\phi)$, из (14) получаем потенциал $V(\phi)$. Различные значения C соответствуют различным значениям $V(\phi)$. Требование четности полинома $V(\phi)$ равносильно условию C=0. В этом случае

$$V(\phi) = \frac{1}{2}(1 - \phi^2)^2 + \frac{1}{12m_{\rm p}^2}\phi^2(3 - \phi^2)^2.$$
 (16)

Легко проверить, что если $\phi(t)$ – решение системы (13), (14) с некоторым потенциалом $V(\phi)$, то и $\phi(-t)$ будет являться решением с тем же потенциалом. Например, $\phi_2(t) = \operatorname{th}(-t) = -\operatorname{th}(t)$ – решение уравнений (13), (14) с потенциалом (16). Отметим, что решения $\phi = \pm \operatorname{th}(t)$ соответствуют одной и той же функции H(t), но двум разным функциям $W(\phi)$.

Мы построили потенциал V, используя явный вид решения системы (13), (14). Теперь рассмотрим более общую задачу и будем искать решение, исходя из следующих двух требований: $\phi(t)$ является гладкой функцией с ненулевыми асимптотиками $\phi(\pm\infty)=\pm A$, суперпотенциал $W(\phi)$ является полиномом по ϕ не выше третьей степени. В первом требовании без ограничения общности можно выбрать A=1. Второе требование гарантирует, что потенциал $V(\phi)$ будет полиномом по ϕ не выше шестой степени. Сформулированные условия позволяют переписать уравнение (13) в следующем виде:

$$\dot{\phi} = \alpha + \beta \phi + \gamma \phi^2. \tag{17}$$

Из асимптотических условий следует, что

$$\gamma = -\alpha, \qquad \beta = 0. \tag{18}$$

Решая уравнение (17) с учетом (18), получаем

$$\phi(t) = \operatorname{th}(\alpha(t - t_0)).$$

Решение $\phi(t)= \mathrm{cth}(\alpha(t-t_0))$ нами не рассматривается, поскольку оно не является гладкой функцией. Таким образом, с точностью до изменения масштаба и сдвига времени получаем решение (12). Очевидно, что потенциал, получаемый из уравнения (14), с точностью до общего множителя совпадает с выражением (16). Интересно, что в рамках приведенных условий на решение и суперпотенциал, потенциал в виде полинома шестой степени является минимально возможным для существования интерполирующего решения. Также можно показать, что любое решение уравнений движения в плоском пространстве с потенциалом четвертой степени будет решением уравнений Фридмана либо с полиномиальным потенциалом шестой степени, либо с неполиномиальным потенциалом [38].

Интересно отметить, что мы построили точное решение без какого-либо приближения. Одним из стандартных подходов к анализу космологических решений в присутствии скалярного поля ϕ является так называемое приближение медленного скатывания, которое технически означает пренебрежение членами $\ddot{\phi}$ в уравнении (6) и $\dot{\phi}^2$ в выражении для энергии (4). Однако, как это следует из (15), для нашего решения имеют место соотношения

$$\ddot{\phi} = -2\phi(1-\phi^2), \qquad \dot{\phi}^2 = (1-\phi^2)^2.$$

Очевидно, что приближение медленного скатывания в этом случае выполняется, только когда ϕ близко к 1. Указанное приближение описывает наше решение при очень больших временах и неприменимо в начальные (близкие к нулю) моменты времени.

Параметр Хаббла для построенного решения имеет вид

$$H = \frac{1}{2m_{\rm p}^2} \phi \left(1 - \frac{1}{3} \phi^2 \right) = \frac{1}{2m_{\rm p}^2} \operatorname{th}(t) \left(1 - \frac{1}{3} \operatorname{th}^2(t) \right).$$

Этот параметр стремится к $1/(3m_{\rm p}^2)$ при $t\to\infty$, при этом $\phi\to 1$. Зная H(t), легко получить явное выражение для масштабного множителя:

$$a = a_0 \frac{e^{\phi^2/(12m_{\rm p}^2)}}{(1 - \phi^2)^{1/(6m_{\rm p}^2)}} = a_0(\operatorname{ch}(t))^{1/3m_{\rm p}^2} \exp\left(\frac{\operatorname{ch}^2(t) - 1}{12m_{\rm p}^2 \operatorname{ch}^2(t)}\right),\tag{19}$$

где a_0 – произвольная константа.

3. КОСМОЛОГИЧЕСКИЕ СЛЕДСТВИЯ

3.1. Ускорение. Функция a(t) обладает следующим асимптотическим поведением при $t \to \infty$:

$$a(t) \sim e^{t/(3m_{\rm p}^2)}.$$
 (20)

Как следует из формул (19) и (20), Вселенная ускоренно расширяется. Параметр замедления отрицателен и равен

$$q(t) = -\frac{\ddot{a}a}{\dot{a}^2} = -\frac{2}{\sinh^2(t)} - \frac{5 + \cosh(4t)}{2(2 + \cosh(2t))^2}.$$

Соответствующие графики представлены на рис. 1. Здесь и далее все графики, для которых параметр $m_{\rm p}$ не указан явно, построены при $m_{\rm p}=1$.

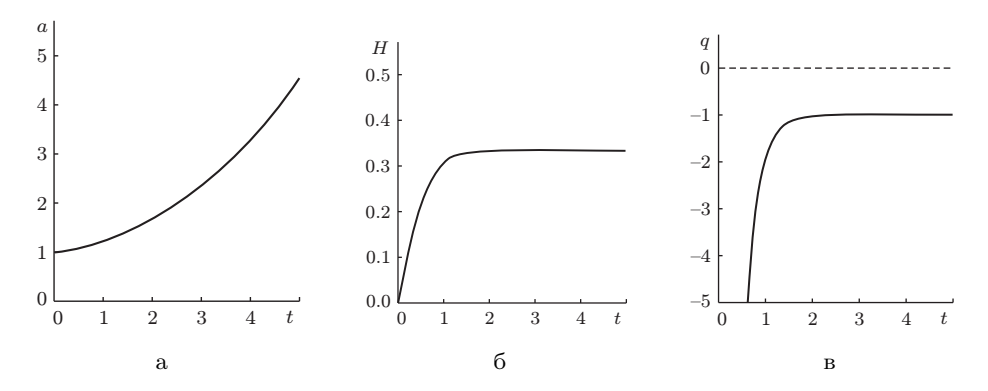


Рис. 1. Масштабный фактор a(t) (a), $a_0 = 1$; параметр Хаббла H(t) (б) и параметр замедления q(t) (в).

На рис. 2 представлены "jerk"-параметр $j=\dot{\ddot{a}}a^2/\dot{a}^3$ и "kerk"-параметр $k=-\ddot{\ddot{a}}a^3/\dot{a}^4.$

Подставляя полученное решение (12) и потенциал (16) в выражения для плотности давления и энергии, получаем

$$p(\phi) = -(1 - \phi^2)^2 - \frac{1}{12m_p^2}\phi^2(3 - \phi^2)^2, \qquad \varrho(\phi) = \frac{1}{12m_p^2}\phi^2(3 - \phi^2)^2.$$

Следовательно, параметр состояния w имеет вид

$$w \equiv \frac{p}{\varrho} = -1 - 12m_{\rm p}^2 \frac{(1 - \phi^2)^2}{\phi^2 (3 - \phi^2)^2} = -1 - 12m_{\rm p}^2 \frac{{\rm ch}^2(t)}{{\rm sh}^2(t)(1 + 2\,{\rm ch}^2(t))^2}.$$

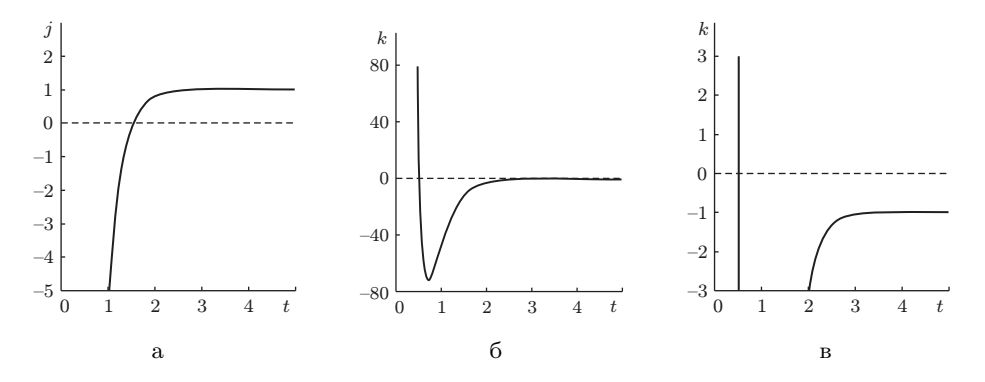


Рис. 2. "jerk"-Параметр (а), "kerk"-параметр (б) и его тонкая структура в окрестности k=0 (в).

Отметим, что функция $w(\phi)$ меньше -1 при $|\phi| \neq 1$ и равна -1 при $|\phi| = 1$. Точка $\phi = 1$ соответствует бесконечно удаленному будущему. Графики давления p(t) и плотностей энергии $\varrho(t)$, а также параметра состояния w(t) представлены на рис. 3.

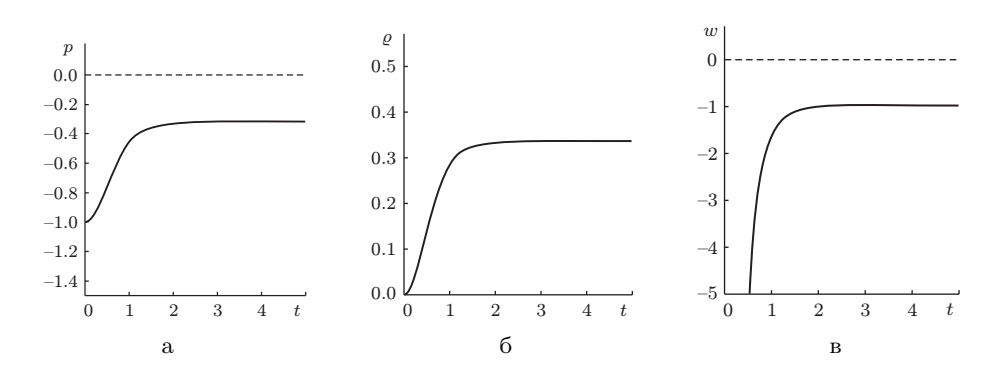


Рис. 3. Давление p(t) (a), плотность энергии $\varrho(t)$ (б) и параметр состояния w(t) (в).

Таким образом, в рассмотренной модели ускоренно расширяющейся Вселенной фантомное скалярное поле описывает темную энергию с параметром w < -1.

3.2. Эволюция точного решения уравнения (7). Решение (12) уравнения (7) есть функция, описывающая интерполяцию поля ϕ между точками -1 и 1 (но ne наоборот). Это поле имеет конечную скорость $\dot{\phi}(t)$, удовлетворяющую нулевому начальному условию; потенциал задается формулой (16), а "трение" пропорционально $\mathrm{sign}(H)\sqrt{-\dot{\phi}^2/2+V(\phi)}$ и зависит от координаты ϕ и скорости $\dot{\phi}$. Множитель $\mathrm{sign}(H)$ делает "трение" отрицательным для отрицательных ϕ , т.е. частица ускоряется за счет него. В самом деле, выражение для коэффициента "трения" на решении равно $\phi(3-\phi^2)/(2\sqrt{3}m_\mathrm{p})$ как для положительных, так и для отрицательных ϕ .

Обсудим эволюцию явно построенного решения. Эволюция фантомного поля эквивалентна эволюции нормального поля в перевернутом потенциале. Форма потенциала V существенно зависит от значения $m_{\rm p}$, см. рис. 4, где перевернутый потенциал -V нарисован при разных значениях $m_{\rm p}$.

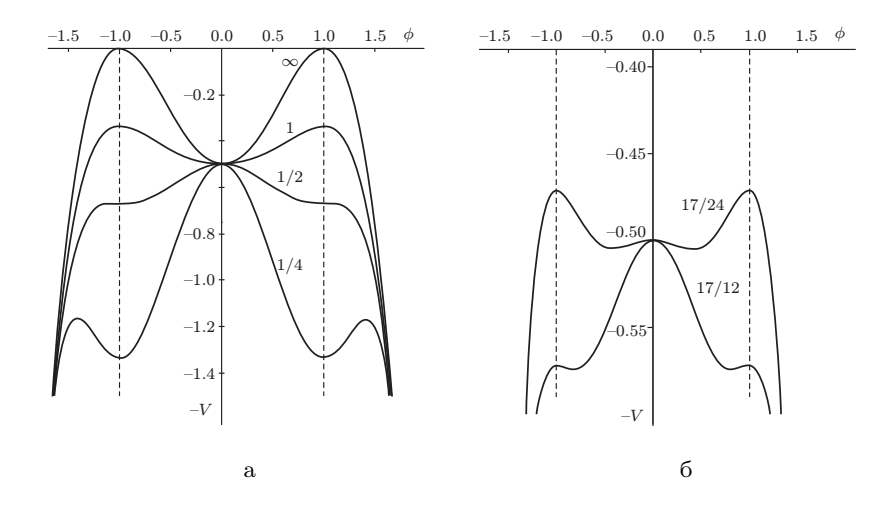


Рис. 4. Потенциал -V при различных значениях $m_{\rm p}$. На рис. 4а кривым (в порядке сверху вниз) соответствуют следующие значения $m_{\rm p}^2$: $m_{\rm p}^2=\infty$, $m_{\rm p}^2=1$, $m_{\rm p}^2=1/2$ и $m_{\rm p}^2=1/4$, на рис. 46 – значения $m_{\rm p}^2=17/24$ и $m_{\rm p}^2=7/12$. Две вертикальные линии $\phi=\pm 1$ проведены для наглядности.

Для анализа экстремума потенциала приведем следующие соотношения:

$$V(0) = \frac{1}{2}, V(\pm 1) = \frac{1}{3m_{\rm p}^2}, V_{\phi}' = \frac{1}{2m_{\rm p}^2}\phi(1 - \phi^2)((3 - 4m_{\rm p}^2) - \phi^2),$$

$$V_{\phi}''(0) = \frac{3 - 4m_{\rm p}^2}{2m_{\rm p}^2}, V_{\phi}''(\pm 1) = \frac{2(2m_{\rm p}^2 - 1)}{m_{\rm p}^2}.$$
(21)

Очевидно, что экстремумы в точках $\phi=\pm 1$ и $\phi=0$ не зависят от $m_{\rm p}$, в то время как два других экстремума есть функции $m_{\rm p}$. Более того, от конкретного значения $m_{\rm p}$ зависит, является ли данный экстремум максимумом или минимумом. Возможные значения $m_{\rm p}$ можно разделить на следующие области, определяющие структуру экстремумов перевернутого потенциала -V.

- При $m_{
 m p}=\infty$ потенциал $V(\phi)$ является хорошо известным хиггсовским потенциалом.
- При $3/4\leqslant m_{\rm p}^2<\infty$ перевернутый потенциал -V, являясь потенциалом шестой степени, имеет качественное сходство с перевернутым хиггсовским потенциалом: обладает локальным минимумом в точке $\phi=0$ и максимумами в точках $\phi=\pm 1$.
- При $1/2 < m_{\rm p}^2 < 3/4$ в перевернутом потенциале точка $\phi = 0$ становится локальным максимумом, и возникают два дополнительных минимума на интервале (-1,1),

создавая две ямы и один холм на пути нашего поля ϕ в ходе интерполяции между точками -1 и 1, см. рис. 4б. Более детальный анализ этого случая показывает следующее.

- 1. При $2/3\leqslant m_{\rm p}^2<3/4$ точки $\phi=\pm 1$ находятся не ниже, чем $\phi=0$ в перевернутом потенциале.
- 2. При $1/2 < m_{\rm p}^2 < 2/3$ точки $\phi = \pm 1$ находятся ниже, чем $\phi = 0$ в перевернутом потенциале. Это означает, что наше поле ϕ стартует из точки $\phi = -1$ с нулевой начальной скоростью, катится вниз, в яму, и затем поднимается к точке, которая выше его начального положения. Это противоречит интуиции до тех пор, пока не принимается во внимание фактор ${\rm sign}(H)$ в коэффициенте "трения", наличие которого влечет, что "трение" отрицательно при отрицательных ϕ . Казалось бы, можно опровергнуть последнее утверждение, естественно обратив время и рассмотрев обратное движение. Это противоречие легко разрешимо, так как в случае обращенного времени функция H будет иметь обратный знак.
- При $m_{\rm p}^2=1/2$ перевернутый потенциал имеет только один экстремум (максимум в точке $\phi=0$), а точки $\phi=\pm 1$ являются точками перегиба.
- При $m_{\rm p}^2 < 1/2$ два минимума, возникающие из последнего множителя в выражении для V' в (21), выходят за интервал $-1 < \phi < 1$ и становятся максимумами, а точки $\phi = \pm 1$ становятся минимумами перевернутого потенциала. Точка $\phi = 0$ остается максимумом. В этом случае поле ϕ , стартуя из $\phi = -1$, с самого начала поднимается на холм, а затем скатывается вниз и останавливается в точке $\phi = 1$. Такое поведение кажется невероятным, однако оказывается возможным благодаря отрицательному "трению" для отрицательных ϕ .

При изучении космологической эволюции фантомного поля мы используем только одну часть решения (12), начинающуюся в момент времени $t=t_{\rm in}>0$. В этот момент поле находится в точке $\phi_{\rm in}=\phi(t_{\rm in})={\rm th}(t_{\rm in})$, и ему необходимо сообщить начальную скорость $\dot{\phi}(t_{\rm in})=1-\phi_{\rm in}^2={\rm ch}^{-2}(t_{\rm in})$. Для больших $m_{\rm p}^2$ (при слабом взаимодействии с гравитацией) фантомное поле использует начальную кинетическую энергию, чтобы взобраться на холм при $\phi=1$. Увеличивая взаимодействие с гравитацией, т.е. уменьшая $m_{\rm p}^2$, мы уменьшаем высоту холма в точке $\phi=1$ перевернутого потенциала. При $m_{\rm p}^2=2/3$ разность высот холмов в точках $\phi=0$ и $\phi=1$ становится равной нулю, и вся начальная кинетическая энергия уходит на работу против "трения". Для $m_{\rm p}^2<2/3$ "трение" становится сильнее, и частица имеет достаточно кинетической энергии, чтобы достичь холма при $\phi=1$, который теперь ниже, чем холм в точке $\phi=0$.

4. СТАБИЛЬНОСТЬ РЕШЕНИЙ

4.1. Изменение начальных данных. Рассмотрим поведение решений системы уравнений (5) в окрестности точного решения

$$\phi_0(t) = \text{th}(t), \qquad H_0(t) = \frac{1}{2m_p^2} \, \text{th}(t) \left(1 - \frac{1}{3} \, \text{th}^2(t) \right)$$

2 Теоретическая и математическая физика, т. 148, № 1, 2006 г.

с целью изучения его стабильности. Подставляя

$$\phi(t) = \phi_0(t) + \varepsilon \phi_1(t), \qquad H(t) = H_0(t) + \varepsilon H_1(t)$$

в систему (5), мы получаем в первом порядке по ε следующие уравнения:

$$\dot{H}_{1} = \frac{1}{m_{\rm p}^{2}} (1 - \text{th}^{2}(t)) \dot{\phi}_{1},
\dot{\phi}_{1} = \frac{\left(18 - 24m_{\rm p}^{2} + 24(m_{\rm p}^{2} - 1) \text{th}^{2}(t) + 6 \text{th}^{4}(t)\right) \text{th}(t)}{12m_{\rm p}^{2}(1 - \text{th}^{2}(t))} \phi_{1} - \frac{(3 - \text{th}^{2}(t)) \text{th}(t)}{1 - \text{th}^{2}(t)} H_{1}.$$
(22)

Система (22) имеет следующее решение:

$$\phi_{1}(t) = 2m_{\rm p}^{2}C_{1}\left(1 - \tanh^{2}(t)\right) + \\ + 2m_{\rm p}^{2}C_{2}\frac{2J(t) + (\cosh(2t) - 1)(\cosh(t))^{2 - 1/m_{\rm p}^{2}}\exp\left(\frac{1}{2m_{\rm p}^{2}(\cosh(2t) + 1)}\right)}{\cosh(2t) + 1},$$

$$(23)$$

$$H_{1}(t) = C_{1}(1 - \tanh^{2}(t))^{2} - \frac{4m_{\rm p}^{2}C_{2}J(t)}{(\cosh(2t) + 1)^{2}},$$

где

$$J(t) = \int_0^t \sinh(\tau) (\cosh(\tau))^{1-1/m_{\rm p}^2} \left(2(2m_{\rm p}^2 - 1) \cosh^2(\tau) - 1 \right) \exp\left\{ \frac{1}{4m_{\rm p}^2 \cosh^2(\tau)} \right\} d\tau.$$

Если $C_2=0$, то $H_1(t)$ и $\phi_1(t)$ являются ограниченными функциями на всей временной оси $t\in (-\infty,\infty)$ и для всех значений $m_{\rm p}$ и могут быть представлены в следующем виде:

$$\phi(t) = \phi_0((1 + \varepsilon C_1)t) + O(\varepsilon^2), \qquad H(t) = H_0((1 + \varepsilon C_1)t) + O(\varepsilon^2).$$

Рассмотрим случай $C_2 \neq 0$. Легко заметить, что если $m_{\rm p}^2 > 1/2$, то $\phi_1(t)$ стремится к бесконечности при $t \to \infty$, следовательно, наши решения нестабильны. При $m_{\rm p}^2 = 1/2$ из (23) следует, что

$$H_1(t) = (\operatorname{th}^2(t) - 1)^2 (C_1 - C_2 J_2),$$

$$\phi_1(t) = -(\operatorname{th}^2(t) - 1)(C_1 - C_2 J_2) - \frac{1}{2} C_2 e^{-\operatorname{th}^2(t)/2},$$

где $J_2=\int_0^t e^{-\operatorname{th}^2(\tau)/2}\operatorname{th}(\tau)\,d\tau$. Таким образом, функции H_1 и ϕ_1 являются ограниченными. При $m_{\mathrm{p}}^2<1/2$ функции $\phi_1(t)$ и $H_1(t)$ также являются ограниченными. Таким образом, при $m_{\mathrm{p}}^2\leqslant1/2$ наши решения стабильны, первые поправки — ограниченные функции. Напомним, что при $m_{\mathrm{p}}^2<1/2$ точки $\phi=\pm 1$ являются минимумами, а при $m_{\mathrm{p}}^2=1/2$ — точками перегиба потенциала.

Для изучения поведения решений с начальными условиями, существенно отличающимися от начальных условий точного решения, и для ответа на вопрос, являются

ли траектории точного решения притягивающими или отталкивающими, построим фазовые портреты при различных значениях $m_{\rm p}^2$.

Подчеркнем, что требование того, что H(t) – действительная функция, влечет ограничение на максимальное значение $\dot{\phi}(t)^2$, а именно, для всех ϕ должно выполняться неравенство $\dot{\phi}^2 \leqslant 2V(\phi)$. Например, если $\phi(0)=0$, то физический смысл имеют только решения с $\dot{\phi}(0)\leqslant 1$, иными словами, точное решение стартует из этой точки с максимально возможной скоростью.

Мы не можем найти точные решения системы (5) при условиях $\phi(0)=0$ и $\dot{\phi}<1,$ поэтому приведем результаты численных вычислений.

На рис. 5 представлены фазовые портреты для $m_{\rm p}^2>1/2$, т.е. в области нестабильности нашего решения. Как видно из графиков, эволюция решений заканчивается в точках минимума перевернутого потенциала -V: в нуле при $m_{\rm p}^2=100$ и $m_{\rm p}^2=1$ и в точке $\phi=\sqrt{2/3}\approx 0.816$ при $m_{\rm p}^2=7/12$ (см. рис. 4).

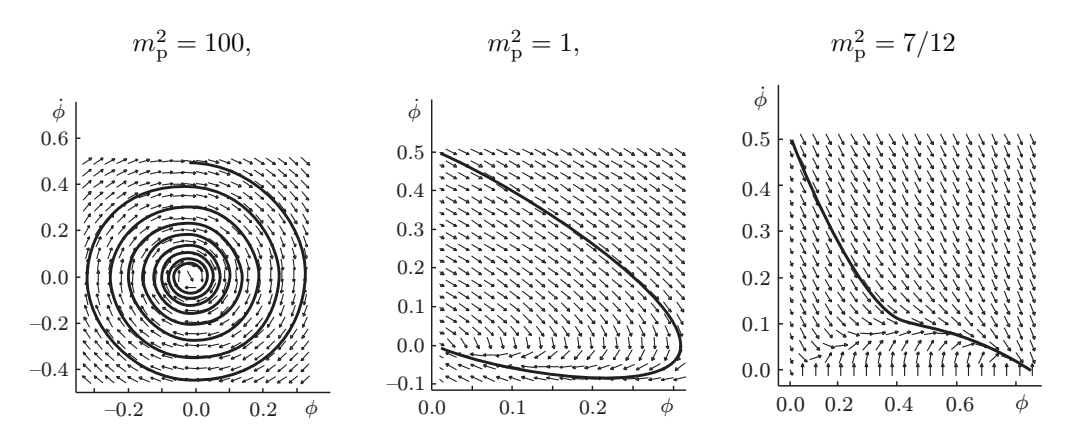


Рис. 5. Фазовые портреты для различных значений $m_{\rm p}^2 > 1/2$. Жирные линии изображают решения с начальным условием $\dot{\phi}(0) = 1/2$.

Рассмотрим фазовые портреты при $m_{\rm p}^2 \leqslant 1/2$, представленные на рис. 6. В случае $m_{\rm p}^2=1/2$, когда $\phi=\pm 1$ являются точками перегиба, решение с начальной скоростью $\dot{\phi}(0)=1/2$, как и точное решение, стремится к точке $\phi=1$, однако совпадает с ним только в этой точке. При $m_{\rm p}^2=1/4$ и $m_{\rm p}^2=1/100$ численные решения близки к точному решению и при $\phi<1$, причем чем меньше $m_{\rm p}^2$, тем меньше значение ϕ , при котором решения с начальными скоростями $\dot{\phi}(0)=1/2$ и $\dot{\phi}(0)=1$ обретают почти равные скорости. Таким образом, поведение первых поправок и фазовые портреты указывают на стабильность полученного точного решения при $m_{\rm p}^2\leqslant 1/2$.

4.2. Изменение формы потенциала. В этом пункте мы исследуем влияние изменения коэффициентов во втором члене потенциала (16) на поведение решений системы (5). Рассмотрим динамику системы (5) с потенциалом

$$\widetilde{V}(\phi) = \frac{1}{2}(1 - \phi^2)^2 + \frac{y}{12m_p^2}\phi^2(3 - \phi^2)^2.$$

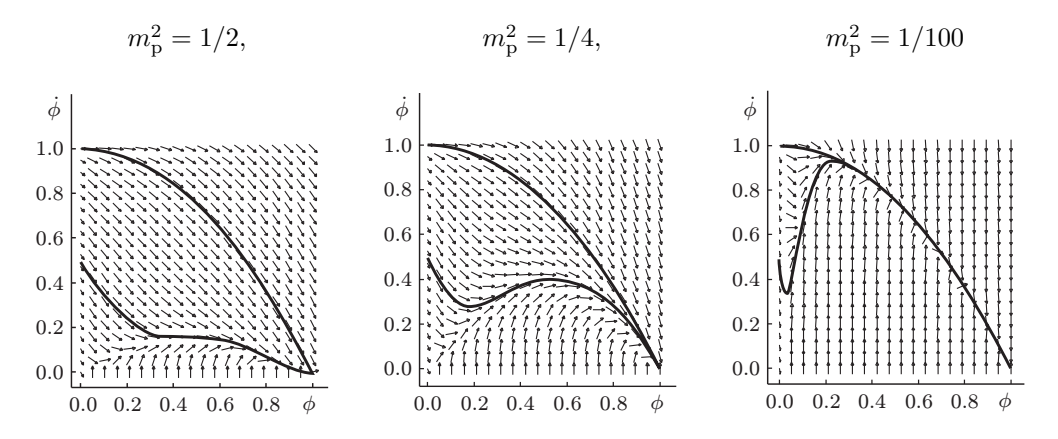


Рис. 6. Фазовые портреты при $m_{\rm p}^2 \leqslant 1/2$. Жирные линии изображают решения с начальными условиями $\dot{\phi}(0) = 1/2$ и $\dot{\phi}(0) = 1$.

Параметр y введен так, что точки $\phi=\pm 1$ остаются экстремумами потенциала. Отметим, что с точностью до сдвига на константу и умножения на общий множитель, это единственно возможная модификация четного потенциала (16), оставляющая $\phi=\pm 1$ экстремальными точками. Уравнение (7) отличается от уравнения движения кинка (11) наличием слагаемого типа "трения" и дополнительным членом в потенциале, пропорциональным $1/m_{\rm p}^2$. Введение параметра y позволяет разделить эффекты "трения" и дополнительного слагаемого в потенциале и ответить на вопрос, какой из них обеспечивает стабильность решения.

Для анализа стабильности удобно построить фазовые портреты при различных параметрах $m_{\rm p}$ и y и расположить их в виде таблицы, как это сделано на рис. 7 и 8. Опираясь на приведенные фазовые портреты и анализ, выполненный в разделах 3 и 4, мы заключаем, что стабилизация решения возникает благодаря дополнительному слагаемому в потенциале. А именно, полученное решение является притягивающим при $m_{\rm p}^2/y \leqslant 1/2$ вне зависимости от численного фактора в коэффициенте "трения".

5. ЗАКЛЮЧЕНИЕ

Мы проанализировали точно решаемую модель ускоренно расширяющейся Вселенной с доминирующей темной энергией. Параметр состояния в рассмотренной модели всегда меньше -1 и стремится к -1 при $t \to \infty$. Такое поведение параметра состояния приводит к отсутствию в нашей модели сингулярности типа "большой разрыв", которая имеет место в моделях с постоянным w < -1. Отметим, что данные свойства параметра состояния сохранятся и при включении в нашу модель взаимодействия с холодной темной материей [39]. Также показано, что решение стабильно относительно малых изменений начальных данных при $m_{\rm p}^2 \leqslant 1/2$ и малых изменений параметров потенциала. Простейший способ получить точно решаемую

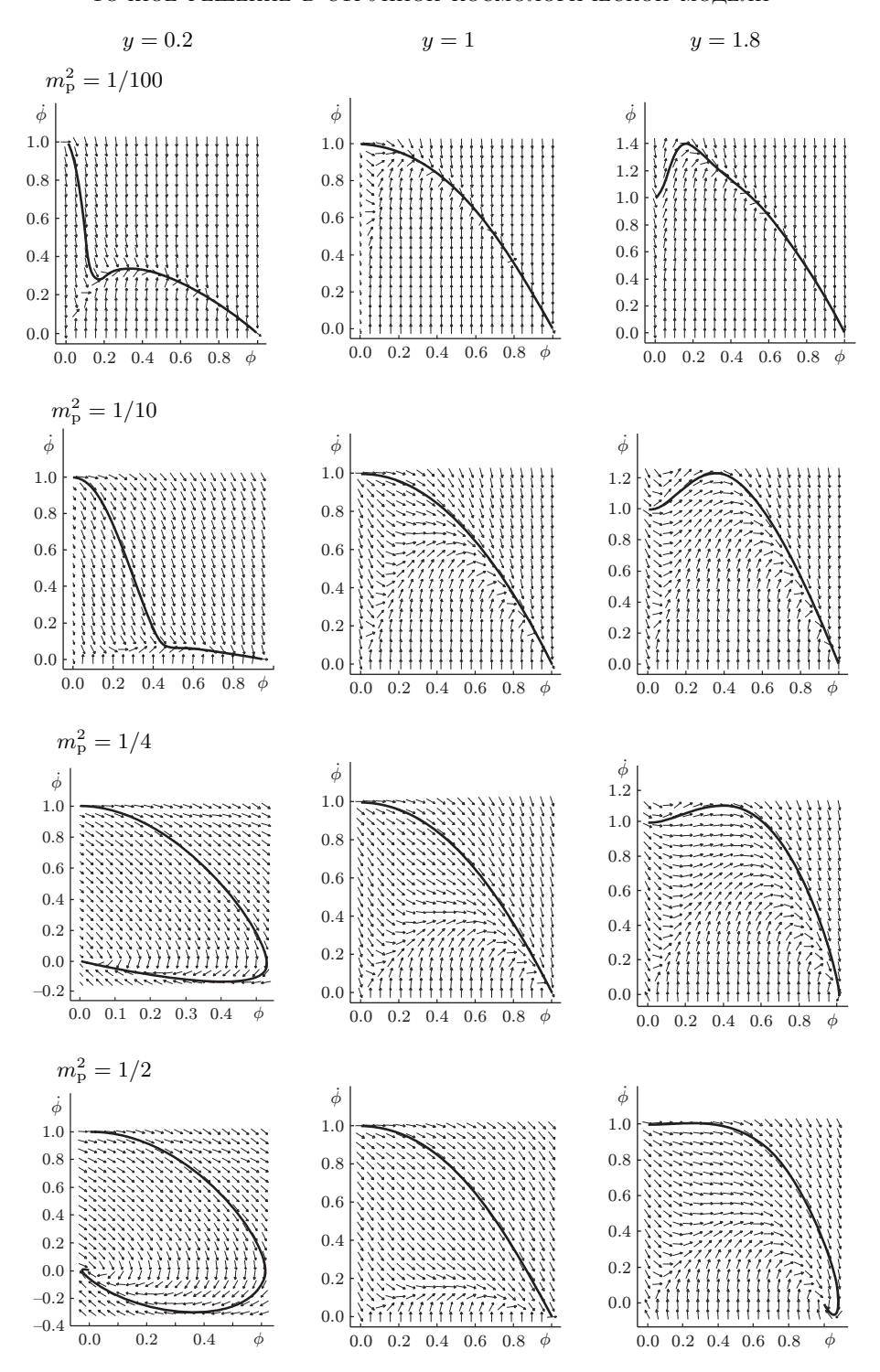


Рис. 7. Фазовые портреты при $m_{
m p}^2 \leqslant 1/2$ и различных значениях y.

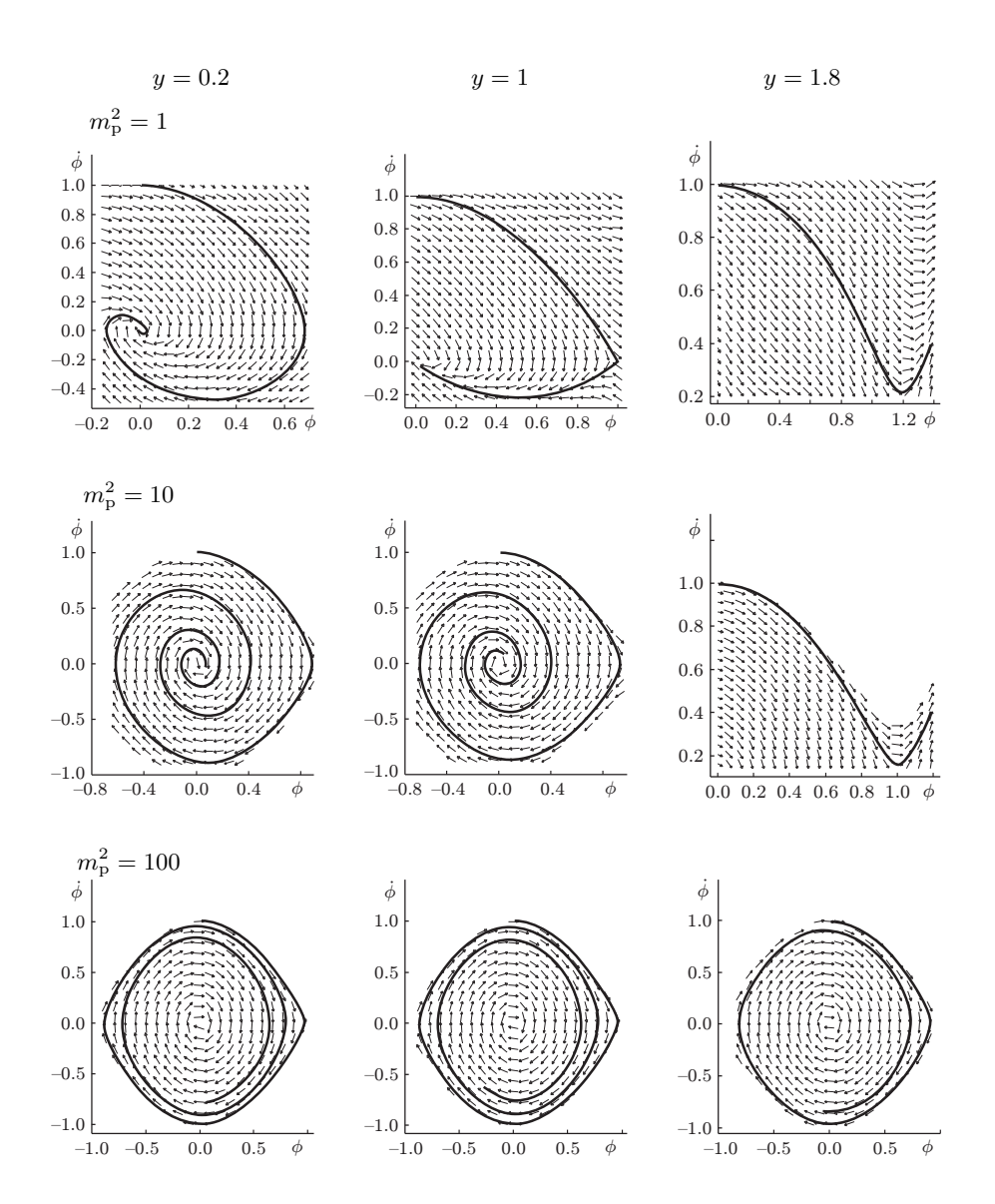


Рис. 8. Фазовые портреты при $m_{
m p}^2 > 1/2$ и различных значениях y.

модель, в которой w пересекает барьер космологической постоянной w=-1, состоит в введении дополнительного скалярного поля [40].

Благодарности. Авторы благодарны И. В. Воловичу и А. Е. Пухову за полезные обсуждения. Работа частично поддержана РФФИ (грант № 05-01-00758), работа И. Я. Арефьевой и А. С. Кошелева частично поддержана INTAS (грант № 03-51-

6346) и Программой поддержки ведущих научных школ (грант № НШ-2052.2003.1), работа С.Ю. Вернова частично финансировалась за счет Программы поддержки ведущих научных школ (грант № НШ-1685.2003.2 (НШ-8122.2006.2)) и Программы "Университеты России" (грант № 02.02.503). Работа А.С. Кошелева также частично поддержана европейским грантом MRTN-CT-2004-512194 и стипендией Марии Кюри МІF1-CT-2005-021982. И.Я. Арефьева посвящает эту статью 80-летию Ю.В. Новожилова.

Список литературы

- S. J. Perlmutter, G. Aldering, G. Goldhaber et al., Astrophys. J., 517 (1999), 565;
 astro-ph/9812133; A. G. Riess, A. V. Filippenko, P. Challis et al., Astron. J., 116 (1998), 1009;
 astro-ph/9805201.
- [2] A. G. Riess, L.-G. Strolger, J. Tonry et al., Astrophys. J., 607 (2004), 665; astro-ph/0402512.
- [3] D. N. Spergel, L. Verde, H. V. Peiris et al., Astrophys. J. Suppl., 148 (2003), 175; astro-ph/0302209.
- [4] V. Sahni, A. A. Starobinsky, Int. J. Mod. Phys. D, 9:4 (2000), 373; astro-ph/9904398;
 V. Sahni, "Dark matter and dark energy", The Physics of the Early Universe, Lect. Notes. Phys., 653, ed. E. Papantonopoulos, Springer, Berlin, 2005, 141; astro-ph/0403324;
 P. H. Frampton, Dark energy a pedagogic review, astro-ph/0409166; T. Padmanabhan, Phys. Rep., 380 (2003), 235; hep-th/0212290.
- [5] R. R. Caldwell, *Physics World*, **17**:5 (2004), 37.
- [6] R. Bean, S. Carroll, M. Trodden, Insights into dark energy: interplay between theory and observation, astro-ph/0510059; T. Padmanabhan, Darker side of the universe, astro-ph/0510492.
- [7] R. A. Knop, G. Aldering, R. Amanullah et al., Astrophys. J., 598 (2003), 102; astro-ph/0309368; M. Tegmark, M. Strauss, M. Blanton et al., Phys. Rev. D, 69 (2004), 103501; astro-ph/0310723; S. Hannestad, E. Mörtsell, Phys. Rev. D, 66 (2002), 063508; astro-ph/0205096; JCAP, 0409 (2004), 001; astro-ph/0407259; J. L. Tonry, B. P. Schmidt, B. Barris et al., Astrophys. J., 594 (2003), 1; astro-ph/0305008.
- [8] A. Melchiorri, L. Mersini, C. J. Odman, M. Trodden, Phys. Rev. D, 68 (2003), 043509; astro-ph/0211522.
- [9] C. Wetterich, Nucl. Phys. B, 302:4 (1988), 668; P. J. E. Peebles, B. Ratra, Astrophys. J., 325 (1988), L17; R. R. Caldwell, R. Dave, P. J. Steinhardt, Phys. Rev. Lett., 80 (1998), 1582; astro-ph/9708069; L. Wang, R. R. Caldwell, J. P. Ostriker, P. J. Steinhardt, Astrophys. J., 530 (2000), 17; astro-ph/9901388; G. W. Gibbons, Class. Q. Grav., 20 (2003), S321; hep-th/0301117; E. J. Copeland, M. R. Garousi, M. Sami, S. Tsujikawa, Phys. Rev. D, 71 (2005), 043003; hep-th/0411192.
- [10] C. Armendariz-Picon, V. Mukhanov, P. J. Steinhardt, Phys. Rev. Lett., 85 (2000), 4438; astro-ph/0004134; Phys. Rev. D, 63 (2001), 103510; astro-ph/0006373.
- [11] A. Sen, Int. J. Mod. Phys. A, 20:24 (2005), 5513; hep-th/0410103.
- [12] Л. Б. Окунь, Лептоны и кварки, Наука, М., 1990.
- [13] R. R. Caldwell, Phys. Lett. B, 545 (2002), 23; astro-ph/9908168.
- [14] B. McInnes, JHEP, 08 (2002), 029; hep-th/0112066; J. M. Cline, S. Jeon,
 G. D. Moore, Phys. Rev. D, 70 (2004), 043543; hep-ph/0311312; S. D. H. Hsu,

- A. Jenkins, M. B. Wise, Phys. Lett. B, 597 (2004), 270; astro-ph/0406043: U. Alam, V. Sahni, A. A. Starobinsky, JCAP, **0406** (2004), 008; astro-ph/0403687; T. Padmanabhan, T. R. Choudhury, Phys. Rev. D, 66 (2002), 081301; hep-th/0205055; A. Melchiorri, L. Mersini, C. J. Odman, M. Trodden, Phys. Rev. D, 68 (2003), 043509; astro-ph/0211522; B. Feng, X. Wang, X. Zhang, Phys. Lett. B, 607 (2005), astro-ph/0404224; B. Feng, M. Li, Y.-S. Piao, X. Zhang, Phys. Lett. B, 634 (2006), 101; astro-ph/0407432; S. Nojiri, S.O. Odintsov, Phys. Rev. D, 70 (2004), hep-th/0408170; W. Fang, H. Q. Lu, Z. G. Huang, K. F. Zhang, Int. J. Mod. Phys., 15 (2006), 199; hep-th/0409080; J.-G. Hao, X.-Z. Li, Phys. Rev. D, 67 (2003), 107303; gr-qc/0302100; P. Singh, M. Sami, N. Dadhich, Phys. Rev. D, **68** (2003), 023522; hep-th/0305110; R.-G. Cai, A. Wang, JCAP, 0503 (2005), hep-th/0411025; Z.-K. Guo, Y.-Z. Zhang, Phys. Rev. D, 71 (2005), 023501; astro-ph/0411524; S. M. Carroll, A. De Felice, M. Trodden, Phys. Rev. D, 71 (2005), 023525; astro-ph/0408081.
- [15] R. R. Caldwell, M. Kamionkowski, N. N. Weinberg, Phys. Rev. Lett., 91 (2003), 071301; astro-ph/0302506.
- [16] S. Nesseris, L. Perivolaropoulos, Phys. Rev. D, 70 (2004), 123529; astro-ph/0410309.
- [17] S. M. Carroll, M. Hoffman, M. Trodden, Phys. Rev. D, 68 (2003), 0235099 astro-ph/0301273.
- [18] V. K. Onemli, R. P. Woodard, Class. Q. Grav., 19 (2002), 4607; gr-qc/0204065; Phys. Rev. D, 70 (2004), 107301; gr-qc/0406098.
- [19] T. Padmanabhan, Phys. Rev. D, 66 (2002), 021301; hep-th/0204150.
- [20] I. Ya. Aref'eva, "Nonlocal string tachyon as a model for cosmological dark energy", AIP Conf. Proc., 286, 2006, 301; astro-ph/0410443.
- [21] M. Kaplinghat, S. Bridle, Phys. Rev. D, 71 (2005), 123003; astro-ph/0312430.
- [22] C. Csáki, N. Kaloper, J. Terning, Ann. Phys., 317 (2005), 410; astro-ph/0409596; Phys. Rev. Lett., 88 (2002), 161302; hep-ph/0111311.
- [23] A. Vikman, Phys. Rev. D, 71 (2005), 023515; astro-ph/0407107.
- [24] A. A. Andrianov, F. Cannata, A. Y. Kamenshchik, Phys. Rev. D, 72 (2005), 043531; gr-qc/0505087.
- [25] A. A. Starobinsky, J. Yokoyama, Phys. Rev. D, 50 (1994), 6357; astro-ph/9407016.
- [26] C. Deffayet, G. Dvali, G. Gabadadze, Phys. Rev. D, 65 (2002), 044023; astro-ph/0105068;
 R. Kallosh, A. Linde, Phys. Rev. D, 67 (2003), 023510; hep-th/0208157;
 S. Mukohyama,
 L. Randall, Phys. Rev. Lett., 92 (2004), 211302; hep-th/0306108;
 V. Sahni, Y. Shtanov,
 JCAP, 0311 (2003), 014; astro-ph/0202346;
 P. Brax, C. van de Bruck, A.-C. Davis,
 Rep. Progr. Phys., 67 (2004), 2183; hep-th/0404011;
 T. N. Tomaras, Braneworld evolution with brane-bulk energy exchange, hep-th/0404142;
 E. J. Copeland,
 M. R. Garousi, M. Sami, S. Tsujikawa, Phys. Rev. D, 71 (2005), 043003; hep-th/0411192.
- [27] I. Ya. Aref'eva, D. M. Belov, A. S. Koshelev, P. B. Medvedev, Nucl. Phys. B, 638 (2002), 3; hep-th/0011117.
- [28] K. Ohmori, A review on tachyon condensation in open string field theories, hep-th/0102085; I. Ya. Aref'eva, D. M. Belov, A. A. Giryavets, A. S. Koshelev, P. B. Medvedev, Noncommutative field theories and (super)string field theories, hep-th/0111208; W. Taylor, Lectures on D-branes, tachyon condensation, and string field theory, hep-th/0301094.
- [29] B. McInnes, Nucl. Phys. B, 718 (2005), 55; hep-th/0502209.

- [30] E. Witten, Nucl. Phys. B, 268 (1986), 253; I. Ya. Aref'eva, P. B. Medvedev,
 A. P. Zubarev, Nucl. Phys. B, 341 (1990), 464; C. R. Preitschopf, C. B. Thorn,
 S. A. Yost, Nucl. Phys. B, 337 (1990), 363.
- [31] N. Moeller, B. Zwiebach, JHEP, 0210 (2002), 034; hep-th/0207107.
- [32] I. Ya. Aref'eva, A. S. Koshelev, L. V. Joukovskaya, JHEP, 0309 (2003), 012; hep-th/0301137.
- [33] Ya. I. Volovich, J. Phys. A, 36 (2003), 8685; math-ph/0301028.
- [34] В. С. Владимиров, И. В. Волович, Е. И. Зеленов, *p-Адический анализ и математическая физика*, Наука, М., 19943.
- [35] В. С. Владимиров, Я. И. Волович, $TM\Phi$, 138:3 (2004), 355; math-ph/0306018.
- [36] L. Brekke, P. G. O. Freund, M. Olson, E. Witten, Nucl. Phys. B, 302 (1988), 365.
- [37] O. DeWolfe, D. Z. Freedman, S. S. Gubser, A. Karch, Phys. Rev. D, 62 (2000), 046008; hep-th/9909134.
- [38] S. Yu. Vernov, J. Nonlinear Math. Phys., 13 (2006), 50; astro-ph/0502356.
- [39] I. Ya. Aref'eva, A. S. Koshelev, S. Yu. Vernov, Phys. Lett. B, 628 (2005), 1; astro-ph/0505605.
- [40] I. Ya. Aref'eva, A. S. Koshelev, S. Yu. Vernov, Phys. Rev. D, 72 (2005), 064017; astro-ph/0507067.

Поступила в редакцию 10.10.2005